

©1994 г.

ТИП ПРОВОДИМОСТИ И ГЛУБОКИЕ ЦЕНТРЫ ЗАХВАТА В КРИСТАЛЛАХ ZnS_xSe_{1-x}

A. В. Коваленко, Н. Д. Борисенко

Днепропетровский государственный университет, 320625, Днепропетровск,
Украина

(Получена 30 сентября 1993 г. Принята к печати 1 ноября 1993 г.)

Статистический анализ кривых ТСЛ, ТСП и ТСЭ в монокристаллах ZnS_xSe_{1-x} позволил выявить 5 донорных и 5 акцепторных глубоких уровней захвата носителей заряда. Хотя для данного соединения характерен *n*-тип проводимости, с изменением параметра x происходит изменение набора донорных и акцепторных уровней (что в конечном итоге приводит к появлению *p*-типа проводимости) в диапазоне $0 \leq x \leq 0.4$. Этот факт подтверждается также изменением знаков фотоэдс и эдс Холла. Показано, что тип проводимости кристаллов $ZnSe$ определяется отклонением от стехиометрии. Так, отжиг образцов $ZnSe$ в расплаве Se при $T = (500-900)$ °C в течение 5 ч стабилизирует в них *p*-тип проводимости, а отжиг в расплаве Zn при тех же условиях обусловливает *n*-тип проводимости.

Широкозонные монокристаллы ZnS_xSe_{1-x} привлекают внимание большими возможностями практического применения в различных оптоэлектронных приборах. Температурная и радиационная стойкость этих монокристаллов хорошо известна, а варьирование состава (параметр x) предполагает перестройку спектральных характеристик приборов в широком диапазоне рабочих частот. Перспективы создания гомо- и гетеропереходов на базе соединений ZnS_xSe_{1-x} , являющихся основной для получения светодиодов, инжекционных лазеров, фотоприемников, просматриваются в том, что хотя для данного соединения в большей степени характерен *n*-тип проводимости, тем не менее *p*-тип проводимости в кристаллах $ZnSe$ исследовался во многих работах, например в [1,2], а о получении кристаллов ZnS с *p*-типом проводимости сообщалось в работах [3,4]. В связи с этим особую актуальность приобретает разработка эффективных методов контроля за энергетическим положением и природой глубоких центров захвата носителей заряда в таких биполярных полупроводниках. В высокоомных материалах для этих целей обычно используются методы ТСЛ и термостимулированной проводимости (ТСП), а также метод термостимулированной эдс (ТСЭ). Так как последний обладает повышенной разрешающей способностью, остановимся на нем более подробно.

При облучении сильно поглощаемым монохроматическим ($\lambda_{\max} = 313$ нм) светом одной из широких боковых граней монокристалла ZnS_xSe_{1-x} , представляющего собой пластину с размерами $7 \times 5 \times 1$ мм, через полупрозрачный индиевый электрод при $T = 77$ К, между его боковыми гранями возникает фотоэдс (ФЭ). При прекращении облучения ФЭ быстро спадает до нуля. Если, спустя определенное время изотермической паузы (20 миц), начать равномерный нагрев образца, то на его боковых электродах возникает ТСЭ, совпадающая со знаком ФЭ. Изменение направления облучения приводит к изменению знаков ФЭ и последующей ТСЭ. Это свидетельствует о том, что наблюдаемый эффект не связан с процессами деполяризации неоднородностями образца, а обусловлен неравномерным поглощением света и, следовательно, наличием градиента заполнения ловушек, замороженного при низкой температуре. Освобождение носителей заряда с ловушек при нагреве и является причиной возникновения ТСЭ. При наличии в образце ловушек одного типа знак ТСЭ сохраняется, последовательное опустошение ловушек разного типа с существенно разными глубинами залегания обуславливает изменение знака ТСЭ, а величина ТСЭ в экстремумах определяется количеством освобождаемых носителей. Так как метод связан лишь с градиентом неравновесных носителей заряда, температурная зависимость концентрации равновесных носителей не снижает степени разрешения экстремумов по энергии.

Расшифровка кривых ТСЭ усложняется, если локальные центры разных типов имеют близкие глубины залегания и пики ТСЭ от разных центров начинают накладываться друг на друга. В этом случае информационное значение экстремумов на кривой ТСЭ нужно уточнять на основе статистического анализа, в котором могут учитываться и другие данные, в том числе и измерения ТСЛ и ТСП.

Как видно из данных, представленных на рис. 1, метод ТСЭ действительно обладает повышенной разрешающей способностью по

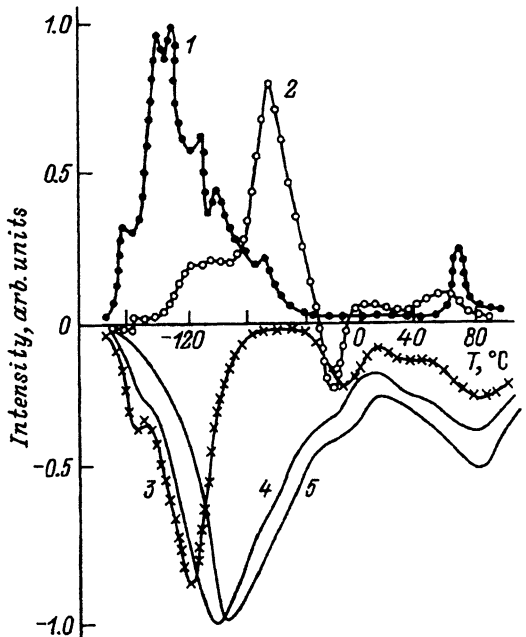


Рис. 1. Температурные зависимости ТСЭ (1-3), ТСП (4) и ТСЛ (5) в кристаллах ZnSe (1), ZnS_{0.4}Se_{0.6} (2) и ZnS (3-5).

сравнению с методами ТСЛ и ТСП. Уменьшение скорости нагрева приводит к смещению экстремумов ТСЭ в низкотемпературную область. Глубину залегания локальных центров по методу ТСЭ, как показал проведенный анализ, можно рассчитать по положению экстремумов в соответствии с соотношением

$$\Delta E = k[T_1 T_2 / (T_1 - T_2)] \ln(b_1 T_2 / b_2 T_1), \quad (1)$$

где T_1, T_2 — значения температуры для экстремума ТСЭ при разных скоростях нагрева b_1 и b_2 , которые в нашем случае составляли 0.28 и 0.096 град/с соответственно. Вывод соотношения (1) сделан в квазиравновесном приближении (скорость опустошения центра захвата при нагреве образца мала по сравнению со скоростью растекания носителей заряда в его объеме) при определенных условиях. Основные среди них — слабая зависимость подвижности носителей заряда от температуры, линейная скорость нагрева, наличие одного центра захвата.

При слабом различии в положении экстремумов ($T_1 \approx T_2$) расчет глубины залегания центра захвата можно провести по одному измерению, используя полуэмпирическое соотношение [5]

$$\Delta E = kT \ln(aT/L^2), \quad (2)$$

где T — температура экстремума ТСЭ, L — глубина проникновения возбуждающего света в образец, a — константа, связанная с частотным фактором и диэлектрическими характеристиками. Для ZnS соотношение (2) при $L \approx 10$ мкм можно привести к виду

$$\Delta E = 27.5kT. \quad (3)$$

Проведенный обобщенный анализ кривых ТСП, ТСЛ и ТСЕ позволил выделить ряд центров захвата носителей заряда в монокристаллах ZnS_xSe_{1-x} , глубины залегания которых приведены в таблице. По нашим данным, уровень $\Delta E = 0.28$ эВ связан с ионами Mn (при концентрации $Mn < 10^{-3}$ г/г этот экстремум исчезает), уровень с энергией активации $\Delta E = 0.63$ эВ связан с примесью кислорода (обработка в среде, содержащей O_2 , увеличивает этот экстремум). Из таблицы видно, что с изменением величины параметра x изменяется набор донорных и акцепторных уровней и происходит смена типа проводимости кристаллов ZnS_xSe_{1-x} с n - на p -тип в диапазоне состава $0 \leq x \leq 0.4$. На это указывает смена знака ТСЭ (рис. 1), а также разные знаки сигналов ФЭ в кристаллах ZnS и ZnSe (рис. 2). Однако, проведя статистические исследования различных самоактивированных кристаллов,

Сведения о глубинах залегания центров захвата носителей заряда в монокристаллах ZnS_xSe_{1-x}

Кристалл, тип проводимости	Глубина залегания донорных уровней, эВ	Глубина залегания акцепторных уровней, эВ
ZnS, n -тип	0.26, 0.36, 0.63, 0.72, 0.83	
$ZnS_{0.4}Se_{0.6}$, p -тип	0.26, 0.36, 0.63,	0.41, 0.51, 0.8, 0.72
ZnSe, p -тип	0.26, 0.36	0.31, 0.33, 0.41, 0.51, 0.8

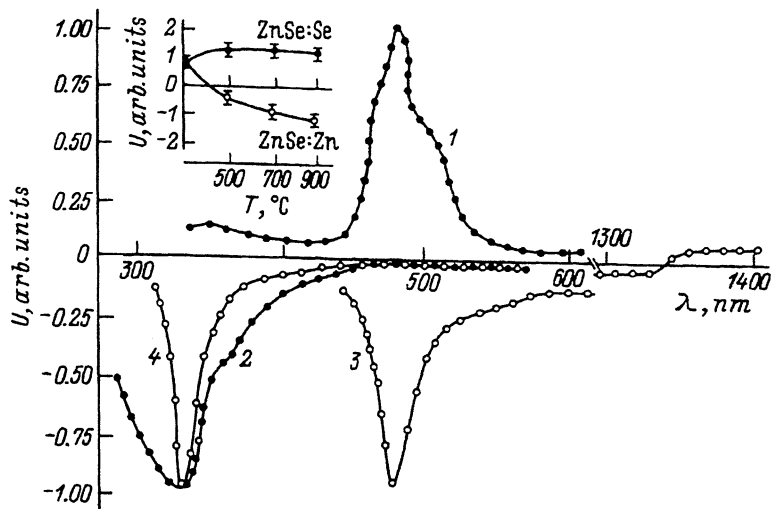


Рис. 2. Спектральные зависимости ФЭ (1,2) и эдс Холла (3,4) в кристаллах ZnSe (1,3) и ZnS (2,4). На вставке — зависимость темновой эдс Холла в кристаллах ZnSe от температуры отжига в расплавах компонент, $T = 300^{\circ}\text{C}$.

мы обнаружили, что кристаллы $\text{ZnS}_x\text{Se}_{1-x}$ с параметром $0 \leq x \leq 0.4$ могут обладать как n - так и p -типа проводимости, знак ФЭ при этом изменяется, а для некоторых образцов он зависит от спектрального состава возбуждающего света, что отмечалось в [6]. Сказанное подтверждается и исследованием спектральной зависимости эдс Холла в кристаллах ZnS и ZnSe (рис. 2).

Для стабилизации p -типа проводимости кристаллов ZnSe они могут быть легированы такими признанными для ZnSe акцепторными примесями как Li, P, Cu, Na, N [7,8]. В этом случае особое внимание следует уделить чистоте источников. Кроме того, необходимо учитывать и другие факторы, мешающие проявлению электрической активности примесей. Среди них — низкая растворимость некоторых активаторов (N), вероятность их перераспределения между донорными и акцепторными состояниями, а также уменьшение электрического проявления активаторов за счет образования комплексов со случайными примесями и дефектами (Li). Сложности изменения типа проводимости кристаллов путем легирования соответствующими примесями объясняются и явлением электрической самокомпенсации, характерным для соединений $\text{A}^{II}\text{B}^{VI}$. Поэтому весьма перспективным способом влияния на тип проводимости ZnSe может быть изменение его стехиометрии. Для проверки этого способа методом регистрации эдс Холла была исследована темновая проводимость кристаллов ZnSe, отожженных в расплаве Zn или Se (см. вставку на рис. 2). Отжиг осуществляется в запаянных кварцевых ампулах, вакуумированных до начального давления $1.3 \cdot 10^{-3}$ Па при различных температурах в течение 5 ч. Монокристаллы ZnSe, обработанные в расплаве Zn, обладали n -типа проводимости, при этом их удельное сопротивление резко уменьшалось до $1 \div 10$ Ом·см, в то время как образцы, обработанные в расплаве Se, сохраняли проводимость p -типа, оставаясь при этом высокоомными с удельным сопротивлением $10^{11} \div 10^{12}$ Ом·см. Очевидно, что для дости-

жения устойчивости *p*-типа проводимости кристаллов ZnSe можно использовать оба способа параллельно, т.е. осуществлять легирование кристаллов акцепторными примесями при одновременном контроле за стехиометрией состава.

Список литературы

- [1] G.F. Neumark. J. Appl. Phys., **65**, 4859 (1989).
- [2] J. Nishizawa. R. Suzuki, Y. Okuno. J. Appl. Phys., **59**, 2256 (1986).
- [3] А.Н.. Георгобиани, В.И. Стеблин. Тр. Физ. Ин-та им. Лебедева П.Н. АН СССР, **50**, 27 (1970).
- [4] А.Н. Георгобиани, М.Б. Котляревский. В кн.: Проблемы физики соединений $A^{II}B^{VI}$, 1, 321. Вильнюс (1972).
- [5] Н.Д. Борисенко, Ф.Ф. Коджеспиров, С.Н. Писанко, Е.И. Ярошенко. ФТП, **7**, 397 (1973).
- [6] Н.Д. Борисенко, А.В. Коваленко, А.С. Кушнир, А.Я. Якунин. ФТП, **15**, 194 (1981).
- [7] M. Umar-Syed, P. Lilley. J. Cryst. Growth, **88** (1988).
- [8] J. Gutowski, N. Presser, G. Kudlek. Phys. St. Sol. (a), **120**, 11 (1990).

Редактор Т.А. Полянская
